

## طراحی و پیاده‌سازی سیستم کنترلی بهینه و هوشمند برای توانبخشی اندام‌های پایین بیماران ناتوان حرکتی با استفاده از یک روبات موازی ۶ درجه آزادی

وهاب امینی آذر<sup>۱</sup>، فرید نجفی<sup>۲</sup>، محمد علی نکویی<sup>۳</sup>

۱- دانشجوی دکترا مهندسی کنترل، گروه برق، دانشگاه آزاد اسلامی، واحد علوم و تحقیقات تهران، wahabamini@gmail.com

۲- دانشیار، دانشکده مهندسی مکانیک، گروه ساخت و تولید، دانشگاه خواجه نصیرالدین طوسی، fnajafi@kntu.ac.ir

۳- استادیار، دانشکده مهندسی برق، گروه کنترل، دانشگاه خواجه نصیرالدین طوسی، anekooi@kntu.ac.ir

(تاریخ دریافت مقاله ۱۰/۱۱/۱۳۹۰، تاریخ پذیرش مقاله ۱۸/۱۲/۱۳۹۰)

**چکیده:** روند قدرت بخشیدن به ماهیچه‌ها جهت رساندن آنها به مقادیر نرمال و معمول (توانبخشی)، یک کار زمانبر بوده و نیاز به هزینه و دقت بالایی دارد. ماشین‌های تمرین دهنده بسیاری برای مقاصد توانبخشی وجود دارند. اکثر این ماشینها به دلایلی، بصورت محدود و ویژه مورد استفاده قرار می‌گیرند. در این مقاله یک الگوریتم و قانونی بهینه برای طراحی یک سیستم هوشمند توانبخشی اندام‌های پایین انسان با استفاده از یک روبات موازی استوارت (Stewart) شش درجه آزادی (6-DOF) پیشنهاد شده است. کنترل‌های امپدانس و تطبیقی برای کنترل روبات مورد استفاده قرار می‌گیرند. تخمین و بهینه‌سازی پارامترهای کنترلی با استفاده از شبکه‌های عصبی (NN) و الگوریتم ژنتیک (GA) انجام می‌شوند. نرم‌افزار مطلب برای انجام شبیه‌سازی‌ها در یک حالت استاندارد فیزیوتراپی مورد استفاده قرار می‌گیرد. در پایان نشان داده می‌شود که روش پیشنهادی در مقایسه با سایر روش‌های مشابه کم هزینه‌تر است و با وجود دقت بالا نیاز به صرف انرژی و نیروی کمتری دارد.

**کلمات کلیدی:** توانبخشی روباتیکی، الگوریتم ژنتیک، شبکه‌های عصبی، کنترل بهینه، کنترل امپدانس.

## Design and Implementation of an Optimized Intelligent Control Algorithm for Robotic Rehabilitation of Lower Limbs of Handicapped Patients using a 6-DOF Parallel Robot

Wahab Amini Azar, Farid Najafi, Mohammad Ali Nekooi

**Abstract:** The process of empowering muscles in order to make them to a normal and common value is an expensive and prolonged work. There are some commercial exercise machines used for this purpose called rehabilitation systems. However, these machines have limited use because of some reasons. In this paper, an algorithm and an improved rule are presented for designing a rehabilitation intelligent system of lower limbs by a 6-DOF Stewart parallel robot. Impedance control and adaptive control are used to control of robot. Estimation and optimization of control parameters will be done by NN and GA, respectively. Thereafter, the results of simulations are presented by defining a physiotherapy standard mode on desired trajectory. MATLAB Simulink is used for simulations. It shows that proposed algorithm in comparation with other similar methods is a low-cost method and needs less energy and force with high accuracy.

**Keywords:** Rehabilitation robotic, Genetic Algorithm, Neural Network, optimized control, impedance control.

فراهرش شده توسط سنسورهایی است که در طی فرایند توانبخشی بر روی بخش‌های مختلف بدن بیمار قرار گرفته‌اند. سپس روابتهاهای صنعتی رویه مشابهی را بر اساس اطلاعات جمع آوری شده از سنسورها و نیرو و موقعیت خواسته شده تکرار می‌کنند (REHABROB 2000). کارهای دیگر انجام شده و نیز روش‌های مختلف کنترلی در این زمینه را در مرجع [۴] می‌توان پیدا کرد.

در طرح پیشنهادی، ما نیاز به سیستمی داریم که بتواند زیر پاهای بیمار قرار بگیرد و مراحل پیاده‌روی شخص انسان را شبیه‌سازی نماید. این سیستم یک روبات موازی است که در بخش بعدی مورد بحث قرار خواهد گرفت. مهمترین هدف سیستم توسعه یافته در این مطالعه رسیدن به یک روش کم هزینه است که امنیت شخص بیمار را با کنترل یک ساختار هوشمند و بدون نیاز به فیزیوتراپ تأمین می‌کند. این سیستم می‌تواند برای توانبخشی هر دو پا مورد استفاده قرار گیرد.

## ۱- معرفی

سیستم حرکتی انسان از بدو تولد یک سیستم فوق العاده هارمونیک، تنظیم شده و هدف دار است که همیشه مورد توجه داشتمندان علاقه‌مند به مکانیزم حرکت انسان بوده است. عدم ارتباط و هماهنگی بین اجزای مختلف بدن انسان ممکن است باعث مشکلات حرکتی، تعادلی و یا در واقع منجر به یک از هم پاشیده شدن نوتهای سمفونی حرکتی شود. از طرفی ضایعه فلج مغزی، ضعف و سستی ماهیچه‌ها به هنگام پیری، تصادفات رانندگی و آسیب‌های ناشی از جنگ، اصلی‌ترین منابع ناتوانایی‌های حرکتی به حساب می‌آیند. در نظام سلامت جامعه درمان‌های غیردارویی در خط مقدم درمان کشورها قرار دارد. یکی از این درمان‌ها توانبخشی است. توانبخشی به معنای بازتوانی و بازگرداندن ناتوانایی‌های یک فرد به حالت حداقل استقلال اطلاق می‌گردد. این روند عموماً یک کار هزینه‌بر بوده و نیاز به زمان و حوصله زیادی دارد.

ماشین‌های تمرین دهنده زیادی برای اهداف توانبخشی وجود دارند [۱]. یکی از این دسته ماشین‌های ماشین‌های مصنوعی غیرفعال شیوه CPM (Continues Passive Motions) هستند که برای پیاده‌روی در سرعت‌های پایین می‌توانند از رفتار اندام سالم تبعیت کنند. اما در سرعت‌های معمول و بالاتر، اندام‌های انسان نیاز به انرژی بیشتری برای حرکت در مسیرهای مطلوب دارند [۲،۳] و نیز اکثر این ماشین‌ها به علت درجه آزادی یا بازه حرکتی کم و نامناسبی که دارند به صورت محدود و ویژه مورد استفاده قرار می‌گیرند. بنابراین ضرورت نیاز به استفاده از تکنولوژی‌های مکاترونیکی در حوزه توانبخشی کاملاً مشهود است. مطالعات زیادی براساس کارآئی و بهره‌وری روابتهاهای توانبخشی برای تعیین و تشخیص و درمان اختلالات مفاصل برای اندامهای فوقانی و تحتانی صورت گرفته است. یکی از پر استفاده ترین ابزار موجود در زمینه روابتهاهای توانبخشی، روبات exoskeleton یا روبات robotic اسکلت بندی خارجی است. با شروع قرن ۲۱ شرکتهای زیادی ماشینهای را طراحی و تولید کرده‌اند که به افرادی که دارای اندام‌های تحتانی با توان حرکتی کم هستند کمک کنند. پر کاربردترین روبات Lower-extremity exoskeleton (LOPES) می‌باشد. خلیلی و زومنفر (۱۹۸۸) سیستمی Powered Exoskeleton را با ۲ روبات معرفی کردند که هر کدام از آنها ۲ درجه آزادی دارند. این سیستم برای حرکات پیش‌بینی نشده جزئی (محدوده کم حرکتی و اندامهای پایین) مناسب بود. کربس (۱۹۹۸ و ۲۰۰۳) سیستمی را با نام MIT-MANUS ارائه کرد که بصورت کلینیکی و شامل روباتی با سیستم توانبخشی عصبی بود. این سیستم شامل روباتی با درجات آزادی چندگانه و مناسب با بیماران مصدوم و ضربه دیده بود. ریچاردسون (۱۹۹۹ و ۲۰۰۳ و ۲۰۰۵) یک سیستم نیوماتیک ۳ درجه آزادی را برای توانبخشی توسعه داد که از کنترل کننده‌های PD و مقاوم بهره می‌جست. کار دیگری برای توانبخشی، پروژه REHABROB بود که شامل دو روبات صنعتی بود. ایده اصلی براساس نیرو و موقعیت مورد نیاز

## ۲- روبات‌های موازی

روبات‌های موازی با توجه به سفتی (Stiffness) بالا و عکس‌العمل سریع اخیراً مورد توجه بسیاری از محققان برای کاربردهای پزشکی و فعالیت‌های کم هزینه‌ی دارویی قرار گرفته‌اند. در حالت کلی این روبات‌ها دارای ۲ صفحه‌ی دایره‌ای شکل ثابت (Fixed Platform) و متحرک (Moving Platform) می‌باشند که با استفاده از چند لینک سلب و انعطاف‌پذیر به هم وصل شده‌اند. طول لینک‌ها برای رسیدن به موقعیت و جهت مطلوب (MP) Manipulator کنترل می‌شوند. دو نوع مدل ریاضی برای پیاده‌سازی الگوریتم‌های حرکتی روبات مورد استفاده قرار می‌گیرد:

- مدل سینماتیکی (Kinematic model)
- مدل دینامیکی (Dynamic model)

مدل سینماتیکی رابطه بین تغییر طول لینک‌ها و موقعیت MP را بیان می‌کند. به طور مشابه مدل دینامیکی رفتار دینامیکی روبات و رابطه بین گشتاورهای مفاصل و نیروهای واپسente به حرکت را بیان می‌کند [۵]. در این مقاله به دلیل تعامل بین انسان و روبات، هر دو مدل مورد بحث قرار می‌گیرد.

## ۳- روبات موازی برای توانبخشی اندام‌های پایین

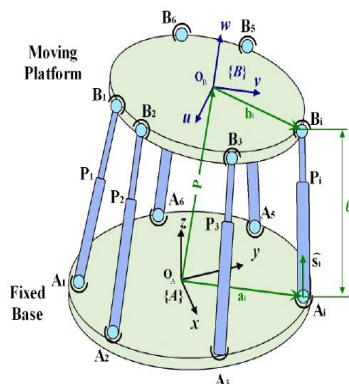
با توجه به نیازی که در کشور به استفاده از روبات‌ها برای امر توانبخشی وجود دارد و با توجه به قیمت بسیار بالای نمونه‌های تجاری خارجی، پروژه طراحی و ساخت مجموعه‌ی روباتیک توانبخشی در دانشگاه صنعتی خواجه نصیرالدین طوسی در حال انجام است. این طرح شامل دو روبات موازی استوارت برای ایجاد حرکت از ناحیه زیر کف پا، دو روبات جانبی برای هدایت حرکت درجات آزادی فوقانی در

موردنیاز هستند. در بخش بعدی مدل سینماتیک معکوس روبات موازی شش درجه آزادی ساخته شده در شکل (۱) مورد بررسی قرار می‌گیرد.

### ۳-۲- تحلیل سینماتیک معکوس روبات موازی

همانطور که قبل توضیح داده شد در سینماتیک معکوس طول عملگرهای روبات موازی با توجه به موقعیت MP تعیین می‌شود. با توجه به شکل (۳) نقاط اتصال عملگر به صفحه‌ی ثابت می‌تواند به صورت رابطه‌ی زیر بیان شود [۶]:

$$\mathbf{a}_i^o = [r_i^a \cos \alpha_i, r_i^a \sin \alpha_i, 0]^T \quad (1)$$



شکل ۳- مکانیزم روبات استوارت

که در آن  $r_i^a$  فاصله شعاعی نقاط اتصال ثابت از مرکز صفحه می‌باشد. موقعیت زاویه‌ی نقاط اتصال  $a_i$  بر روی صفحه‌ی ثابت به صورت  $\alpha_i$  بیان شده است. بطور مشابه نقاط اتصال بر روی MP به صورت  $(r_i^b, \beta_i)$  قرار گرفته‌اند که در آن  $r_i^b$  مختصات قطبی متصل به  $O_B$  می‌باشد که این صفحه  $d$  متر بالاتر از مرکز جرم صفحه ثابت FP است. بردارهای موقعیت  $(b_i^o)$  شش نقطه‌ی اتصالی بر صفحه متوجه در مختصات دکارتی به صورت زیر بیان می‌شود:

$$\mathbf{b}_i^o = [r_i^b \cos \beta_i, r_i^b \sin \beta_i, d]^T \quad (2)$$

که در آن  $\beta_i$  موقعیت زاویه‌ی نقطه  $b_i$  بر روی MP می‌باشد. بردارهای موقعیت طول عملگرهای توسط شش معادله‌ی زیر بیان می‌شوند:

$$\mathbf{L}_i^o = \mathbf{P}_e^o + \mathbf{R}_e^o \mathbf{b}_i^o - \mathbf{a}_i^o \quad i = 1, 2, 3, \dots, 6. \quad (3)$$

که در آن  $\mathbf{P}_e^o$  بیان کننده بردار موقعیت  $O_B$  می‌باشد.  $\mathbf{M}_e^o$  دوران MP نسبت به FP با توجه به چرخش‌های  $\theta_x$ ,  $\theta_y$ ,  $\theta_z$  به ترتیب حول محورهای  $X_0$ ,  $Y_0$  و  $Z_0$  هستند و به صورت زیر بیان می‌شوند:

$$\mathbf{R}_e^o = \begin{bmatrix} c\phi_z c\phi_y & c\phi_z s\phi_y s\phi_x - s\phi_z c\phi_x & s\phi_z s\phi_x + c\phi_z s\phi_y c\phi_x \\ s\phi_z c\phi_y & c\phi_y c\phi_x + s\phi_z s\phi_y s\phi_x & s\phi_z s\phi_y c\phi_x - c\phi_z s\phi_x \\ -s\phi_y & c\phi_y s\phi_x & c\phi_y c\phi_x \end{bmatrix} \quad (4)$$

هماهنگی با حرکت درجات آزادی تحتانی و نیز مکانیزم مهار وزن فعال می‌باشد. عملگرهای روبات استوارت که تصویر آن در شکل (۱) نشان داده شده است از نوع نیوماتیکی می‌باشد که بازه حرکتی آن (Range Of Motion) با توجه به فضای کاری مورد نیاز برای پوشش سینماتیک راه رفتن، قطر سیلندر با توجه به نیروهای مورد نیازی که باید عملگرهای ایجاد نماید و مشخصات شیرها نیز با توجه به دبی هوا مورد نیاز برای ایجاد سرعت‌های لازم انتخاب شده است.



شکل ۱- روبات موازی دانشگاه خواجه نصیرالدین طوسی برای توانبخشی اندام‌های پایین

این روبات در زیر کف پای بیمار قرار می‌گیرد و باید بتواند مراحل پیاده‌روی پای انسان را شبیه‌سازی کند. طرح توانبخشی در شکل (۲) نشان داده شده است.



شکل ۲- طرح پیشنهادی برای توانبخشی روباتیکی

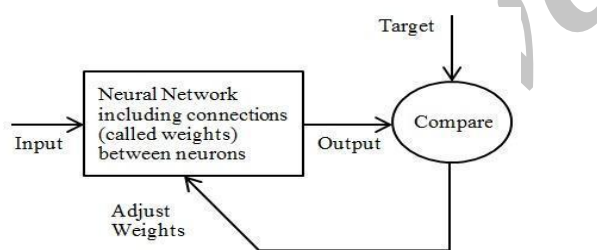
### ۲-۲- مدل سینماتیکی روبات

حرکت فضایی MP با توجه به مرتع ثابت به کمک مدل سینماتیکی می‌تواند بیان شود. براساس این مدل ۲ نوع تحلیل برای مطالعه حرکت مورد نیاز هستند:

- تحلیل سینماتیک مستقیم (Forward Kinematic) (FK) یا
  - تحلیل سینماتیک معکوس (Inverse Kinematic) (IK) یا [۶]
- تعیین اندازه طول لینک‌های روبات بر اساس موقعیت و جهت MP با استفاده از تحلیل سینماتیک معکوس روبات امکان‌پذیر است. در عوض با استفاده از تحلیل سینماتیک مستقیم، موقعیت و جهت MP حاصل می‌شود. بنابراین هر دو مدل سینماتیکی برای پیاده‌سازی یک سیستم کنترلی

اشاره شد معمولاً سینماتیک روبات‌های موازی یک مسئله‌ی غیرخطی است و بدست آوردن یک جواب منحصر به فرد، مشکل است. بنابراین در این مطالعه استفاده از شبکه عصبی MLP به منظور تخمین طول لینک-ها پیشنهاد می‌شود.

ایده دوم استفاده از شبکه عصبی در کنترل روبات توانبخشی از اینجا بوجود آمد که نتایج آزمایشات نشان داده است که در نخاع پستانداران بالغ مراکر آموزش پذیری وجود دارد که موتور نوروون‌های مسئول راه رفت را فعال و کنترل می‌نماید. واژه آموزش پذیری بدین مفهوم است که در نخاع شبکه‌هایی از مدارات عصبی وجود دارد که مسئول تولید الگویی از فعالیت‌های ریتمیک، وابسته به زمان و متنابض در نوروون‌های حرکتی پا می‌باشد. این مراکر، فعالیتی شبیه به نبض زدن قلب را داشته، به نحوی که به صورت مستقل از مغز عمل می‌نمایند. سازمان‌بندی مراکر تولید کننده الگوها پس از آسیب نخاع چهار تغییراتی می‌شوند. در ابتدا تصور بر این بود که سیستم عصبی بعد از آسیب دیدن قادر نخواهد بود الگوهای حرکت عضو آسیب دیده را مجددًا فرا بگیرد، اما تحقیقات در حوزه علوم اعصاب این نظریه را رد کرده است و ثابت شده است که در صورت آسیب دیدن نوروون‌های عصبی که الگوهای راه رفت در آنها از قبل ذخیره شده است، نوروون‌های دیگری می‌توانند این وظیفه را بر عهده گیرند. اگرچه هنوز مکانیزم‌های موثر بر آنها به درستی مشخص نیست ولی نقش ورودی‌های محیطی به شدت مطرح می‌باشد [۷، ۸]. شکل (۴) ساختار شبکه عصبی را نشان می‌دهد.



شکل ۴- ساختار شبکه عصبی

که در آن ورودی، خروجی وتابع هدف شبکه عصبی در الگوریتم پیشنهادی به ترتیب  $y_d$ ،  $q_d$  و  $y$  هستند که در شکل (۶) نشان داده شده‌اند. شبکه عصبی مورد استفاده در این مقاله، یک شبکه MLP با دو لایه می‌باشد (تابع Tansig در لایه اول و تابع Purelin در لایه دوم). بهترین تعداد نوروون‌ها در لایه اول با استفاده از الگوریتم تکراری بدست می‌آید. الگوریتم بهینه‌سازی Levenberg-Maquardt یا Trainlm آموزش شبکه استفاده شده است.

#### ۴- استراتژی کنترلی در الگوریتم پیشنهادی

سیستم کنترلی یکی از چالش‌های اصلی در طراحی روبات‌های توانبخشی است. روش‌های کنترلی مختلفی برای این منظور مورد بررسی

موقعیت عملگرهای با طول پایه‌ها را می‌توانیم با جذر گرفتن از معادله (۵) پیدا کنیم:

$$L_i^2 = [P_e^o + R_e^o b_i^o - a_i^o]^T [P_e^o + R_e^o b_i^o - a_i^o] \quad (5)$$

بنابراین با توجه به اینکه طول پایه‌ها نمی‌توانند منفی باشند، پاسخ سینماتیک معکوس روبات استوارت، یکتا است. اما با توجه به پیچیدگی مسئله و احتمالاً غیر خطی بودن مدل دینامیکی روبات، در این مقاله برای بدست آوردن موقعیت عملگرهای با طول پایه‌ها از یک شبکه عصبی MLP استفاده می‌کنیم.

#### ۴-۲- تحلیل ژاکوبین روبات موازی

در این بخش به بررسی ژاکوبین روبات موازی ساخته شده می-بردازیم. در این بررسی بردار ورودی  $r$  بصورت  $[d_1, d_2, \dots, d_y] = q$  فرض می‌کنیم و بردار خروجی توسط سرعت خطی و زاویه‌ای MP بیان می‌شود یا:

$$\dot{x} = [v_p, w_p]^T \quad (6)$$

ماتریس ژاکوبین از طریق معادله حلقه بسته سرعتی برای هر پایه بدست خواهد آمد:

$$\overline{OP} + \overline{PB}_i = \overline{OA}_i + \overline{A}_i \overline{B}_i \quad (7)$$

$$v_p + w_B \times b_i = d_i w_i \times s_i + d_i s_i \quad (8)$$

که در آن  $s_i$  و  $b_i$  به ترتیب نشان دهنده بردار  $\overline{PB}_i$  و برداری که در راستای  $\overline{A}_i \overline{B}_i$  می‌باشد و  $w_i$  سرعت زاویه‌ای / ام نسبت به مرجع  $O_A$  می‌باشد. برای حذف  $w_i$ ، دو طرف معادله (8) را در  $s_i$  ضرب نقطه‌ای می-کنیم:

$$s_i \cdot v_p + (b_i \times s_i) \cdot w_B = d_i \quad (9)$$

اگر معادله (9) را ۶ بار به ازای  $i = 1, 2, \dots, 6$  معادله بدست می‌آید، می‌توانیم آنها را به فرم ماتریسی زیر بنویسیم:

$$J_x \dot{x} = J_q \dot{q} \quad (10)$$

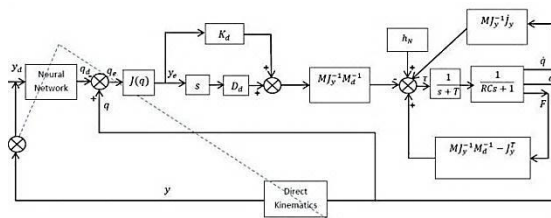
$$J_x = \begin{bmatrix} s_1^T & (b_1 \times s_1)^T \\ s_2^T & (b_2 \times s_2)^T \\ \vdots & \vdots \\ s_6^T & (b_6 \times s_6)^T \end{bmatrix}_{6 \times 6} \quad (11)$$

$$J = J_x J_q^{-1}, \quad J_q = I(6 \times 6 \text{ identity matrix}) \quad (12)$$

#### ۳- شبکه عصبی و کاربرد آن در الگوریتم

##### پیشنهادی

شبکه عصبی به منظور آموزش و نگاشت توابع غیر خطی کاربرد زیادی در شناسایی و کنترل دسته‌ی روبات (MP) دارند. همانطور که قبلاً



شکل ۶- دیاگرام بلوكی سیستم کنترل مقاوم پیشنهادی

گشایور مورد نیاز مفاصل روبات به صورت زیر محاسبه می شوند:

$$\tau = h_N(q, \dot{q}) - M(q)J_y^{-1}(q)j_y(q)\dot{q} - \quad (14)$$

$$M(q)J_y^{-1}(q)M_d^{-1}(D_d\ddot{y}_e + K_d y_e) + [M(q)J_y^{-1}(q)M_d^{-1} - J_y^T]F$$

که در آن  $q_d^{6*1}$  بردار مفاصل مطلوب (مفاصل خطی در روبات موازی)،  $y^{6*1}$  بردار حرکت MP،  $\dot{q}^{6*1}$  بردار مفاصل،  $M(q)^{6*6}$  ماتریس اینرسی، نیروهای گریز از مرکز و Coriolis  $M(q)^{6*6}$  ماتریس اینرسی،  $M_d(q)^{6*6}$  ماتریس ضرایب اینرسی مطلوب،  $J^{6*6}$  ماتریس ژاکوبین،  $M_d(q)$  ماتریس ضرایب میرایی مطلوب،  $K_d^{6*6}$  ماتریس ضرایب سفتی مطلوب و  $F^{6*1}$  نیروی خارجی وارد شده بر MP توسعه محیط می باشد. (این نیرو می تواند به صورت نیروی عمل و عکس العمل بین پای بیمار و MP تعریف شود). عبارت  $\frac{1}{RCs+1}$  تابع تبدیل پایه‌های روبات نشان داده شده در شکل (۱) است (که در آن  $R$  و  $C$  به ترتیب مقاومت جریان گاز و ظرفیت منع تولید فشار هر کدام از عملگرهای نیوماتیکی روبات موازی هستند[۱۵]). و در نهایت  $\frac{1}{s+T}$  تابع تبدیل تأخیر تخمینی می باشد. (اندیس لایانگر فضای کاری می باشد).

## ۵- شرایط پایداری الگوریتم پیشنهادی

امنیت بیمار یکی از مهمترین فاکتورها در سیستم‌های توانبخشی می باشد که با استفاده از پایداری نرم‌افزار و سخت‌افزار تأمین می شود. شرایط پایداری سیستم‌های روبات که توسط کنترل کننده‌های سفتی و مقاوم کنترل می شوند مورد بررسی تعداد زیادی از محققان قرار گرفته است[۹]. در این مقاله شرایط پایداری جدیدی برای کنترل کننده پیشنهادی بر اساس رابطه‌ی بین طول لینک‌های روبات ( $q$ ) و طول‌های مطلوب ( $q_d$ ) بدست آمده از خروجی شبکه عصبی ارائه می شود. بر طبق معادله (۱۴) و جایگزینی‌های زیر:

$$F = Ky_e \quad (15)$$

$$\Phi = M(q)J_y^{-1}(q) \quad (16)$$

$$h_N(q, \dot{q}) = mgsin(q) \cong -10mq \quad (17)$$

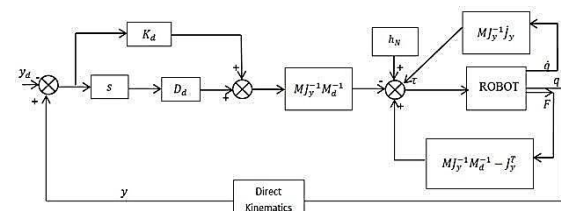
که در آن  $g$  شتاب جاذبه زمین و  $m$  جرم بیمار می باشد، تابع تبدیل رابطه (۱۴) به صورت زیر خواهد بود:

قرار گرفته‌اند و در حال توسعه‌اند[۴]. استراتژی‌های کنترلی سیستم‌های

توانبخشی می توانند به سه دسته تقسیم شوند:

۱. کنترل نیرو
۲. کنترل موقعیت
۳. کنترل نیرو و موقعیت[۹].

برخلاف روبات‌های صنعتی از آنجایی که روبات‌های توانبخشی در تعامل با انسان قرار دارند باید به صورت پایه‌دار، مطمئن و سازگار پیکربندی شوند[۹]. استراتژی کنترل امپدانس که توسط Hogan [۱۰][۱۱] پیشنهاد شده است مناسب‌ترین روش برای این کاربردها است. هدف کنترل امپدانس، کنترل موقعیت و نیرو با القاء یک مقاومت مکانیکی MP به نیروهای خارجی تولید شده توسعه محیط می باشد. امپدانس مقاومت مکانیکی یک مفهوم توسعه یافته برای سفتی مکانیزم در مقابل نیروی وارد شده به آن است[۱۲]. Erhan Akdo و همکاران [۱] دیاگرام بلوكی شکل (۵) را برای این منظور استفاده کردند.



شکل ۵- دیاگرام بلوكی کنترل امپدانس استفاده شده در[۱]

اما در سیستم پیشنهادی از آنجایی که کنترل بر روی یک روبات موازی است و همانطوری که قبله گفته شد مدل‌های سینماتیکی روبات موازی به صورت مسائل غیرخطی هستند و پیدا کردن جواب حالت بسته برای آنها مشکل است بنابراین یک شبکه عصبی MLP برای تخمین طول لینک‌های مطلوب ( $q_d$ ) پیشنهاد می شود. و با فرض اینکه:

$$y_e = dy = J(q)dq \cong J(q)q_e \quad (13)$$

(که در آن  $y_e$  لایان کننده خطی یا انحراف MP از موقعیت و جهت مرجع،  $J(q)$  ماتریس ژاکوبین و  $q_e$  لایان کننده میزان خطی یا انحراف طول لینک‌های MP از طول و اندازه مطلوب می باشد).

استراتژی کنترل پیشنهادی برای کنترل هوشمند که بر مبنای ترکیب دو استراتژی امپدانس و تطبیقی استوار است به صورت دیاگرام بلوكی شکل (۶) خواهد بود (کنترل تطبیقی به منظور تطبیق پارامترهای کنترلی با شرایط بیمار، مراحل درمان و غیره می باشد).



اما تعداد پارامترهایی که باید در روبات موازی در شکل (۱) بهینه سازی شوند برابر است با  $m * n = 6 * 4 = 144$  و به ترتیب تعداد درجات آزادی و پارامترهای روبات هستند. بنابراین طول هر کروموزوم افزایش می‌یابد و این مسئله منجر به افزایش پیچیدگی مسئله خواهد شد. بنابراین پیدا کردن راههایی برای کاهش طول کرموزوم ضروری به نظر می‌رسد. بعضی از این راههای عبارتند از:

- ۱- تبدیل جمعیت کرموزوم به چند جمعیت (Multi Population).
  - ۲- ثابت نگه داشتن بعضی از پارامترها در هر کرموزوم که مهم یا اساسی نباشد. (نقش کمتری در بهینه سازی داشته باشند).
  - ۳- در نظر گرفتن پارامترهای کرموزوم به صورت ماتریس‌های قطری. روش سوم در این مقاله استفاده می‌شود. بنابراین تعداد پارامترهایی که باید بهینه شوند به صورت زیر کاهش پیدا می‌کنند:
- $$n * m = 6 * 4 = 24$$

## ۸- پیاده‌سازی الگوریتم پیشنهادی

برای پیاده‌سازی الگوریتم پیشنهادی بر روی روبات استوارت ذکر شده مراحل زیر را به ترتیب انجام می‌دهیم:

- ۱- موقعیت و جهت مطلوب MP از فیزوپترایست گرفته می‌شود.
- ۲- طول پایه‌های متناسب با موقعیت مطلوب MP و بر اساس سینماتیک معکوس پیدا می‌شود. (خروجی شبکه عصبی)
- ۳- پارامترهای کنترل امپانس با استفاده از الگوریتم ژنتیک جهت تعیین گشتاورهای مورد نیاز مفاضل بهینه می‌شود.

موقعیت و جهت مطلوب MP برای ۱۰ نقطه‌ی حرکتی شکل (۷) تعیین می‌شود که بر اساس معادلات زیر پیدا شده‌اند:

$$P_x = \sin(10x), \quad P_y = \cos(10y), \quad P_z = P_x P_y \quad (28)$$

که در آن:

$$x = y = \frac{\pi}{60} \quad (29)$$

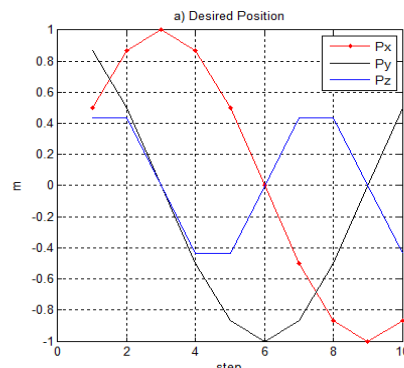
شکل-۸- مقادیر تخمینی و واقعی طول لینک ۱ با استفاده از شبکه عصبی MLP برای ۱۰ نقطه‌ی حرکتی شکل (۷)

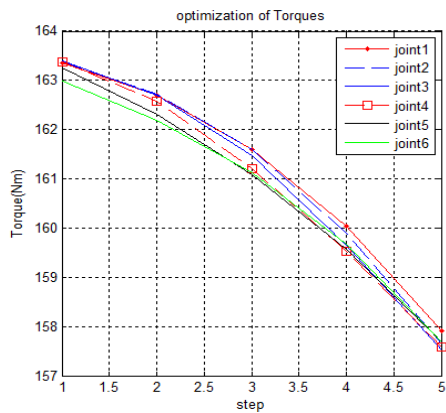
میزان MSE (میانگین مربع خطأ) بین مقادیر تخمینی و واقعی برای شش لینک روبات بعد از ۱۰۰ اپیاک در جدول (۱) نشان داده شده است:

Links	1	2	3	4	5	6
MSE	0.0046	0.0004	0.0038	0.0017	0.0035	0.0005

جدول -۱ میزان MSE طول لینک‌ها در روبات استوارت که با استفاده از شبکه عصبی تخمین زده شده‌اند.

و مقادیر طول لینک‌های متناسب با موقعیت مطلوب MP در شکل (۹) نشان داده شده است:

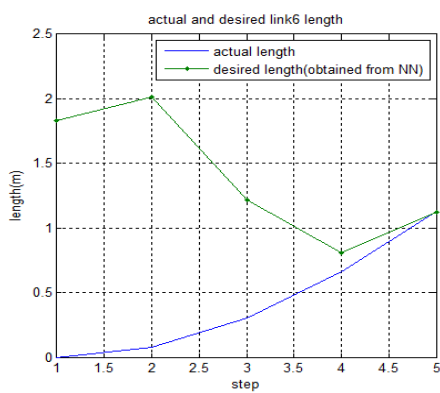




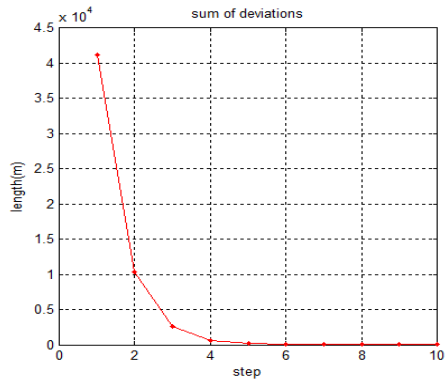
شکل ۱۱- گشتاورهای خطی مفاصل برای حرکت در مسیر مطلوب  
پارامترهای کنترل بهینه‌سازی شده نهایی بر اساس گشتاورها و نیروهای  
بدست آمده به صورت زیر خواهد بود:

$$K_s = 51.2 \left( \frac{N}{m} \right), D_s = 0.05 (Ns/m), M_{ds} = 10.24 (kg)$$

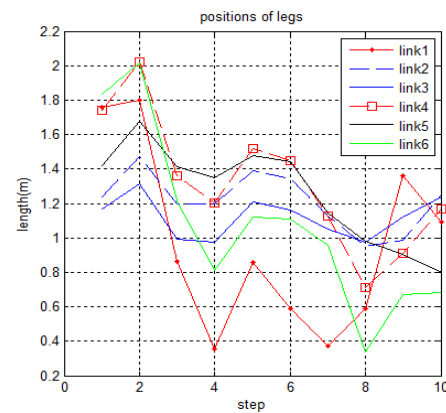
حال گشتاورهای بدست آمده از شکل (۱۰) برای حرکت لینک‌های روبات مورد استفاده قرار می‌گیرند. شکل (۱۲) مقادیر واقعی طول لینک‌ها ( $q$ ) و نیز تخمین زده شده بر اساس مسیر مطلوب ( $q_d$ ) را نشان می‌دهد. (برای سادگی بیشتر فقط لینک ۶ نشان داده شده است).



در نهایت میزان انحراف مسیر واقعی از مسیر مطلوب در شکل (۱۳) نشان داده شده است.



شکل ۱۳- اندازه انحراف مسیر واقعی از مسیر مطلوب



شکل ۹- اندازه طول لینک‌های روبات بر اساس موقعیت مطلوب MP

این طول‌ها توسط شبکه عصبی تخمین زده شده‌اند. پارامترهای کنترل امیدانس در مرحله‌ی اول با استفاده از روش سعی و خطا انتخاب شده و سپس با استفاده از الگوریتم ذهنیک بهینه‌سازی می‌شوند. این پارامترها به صورت فرمول‌های زیر (ماتریس‌های قطری) داده می‌شوند:

$$K_d = diag(K_s), D_d = diag(D_s), M_d = diag(M_{ds}) \quad (30)$$

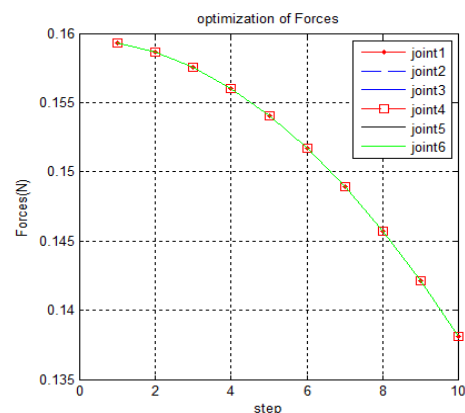
که در آنها پارامترهای اولیه به صورت زیر است:

$$K_s = 0.05 \left( \frac{N}{m} \right), D_s = 0.05 \left( \frac{Ns}{m} \right), M_{ds} = 10 (kg).$$

$$R = 100 \frac{lb_f}{lb/sec}, C = 10 \frac{lb}{lb_f/ft^2}, T = 0.1 sec$$

و  $r_f = 0.5 m$  ،  $r_m = 0.3 m$  (به ترتیب بیانگر شاعع صفحه‌های متوجه و ثابت روبات موازی هستند).

اگر وزن شخص بیمار را ۱۰۰ کیلوگرم و نیز طول اولیه پایه‌های روبات را ۰/۷ متر در نظر بگیریم نیروهای وارد شده به هر لینک در شکل (۱۰) و نیز گشتاورهای خطی مورد نیاز برای حرکت در مسیر مطلوب در شکل (۱۱) بدست می‌آیند.



شکل ۱۰- نیروهای وارد شده به پایه‌های روبات موازی

- +۲۵)- باشد. این مقادیر برای مرجع [۱۳] به ترتیب (۳۸+۰) و (۰+۲۵) است. حال آنکه در این تحقیق میزان نیروی اندازه گیری شده بر روی پایه ها به ۱ نیوتن نیز نمی رسد. و اختلاف موقعیت ها بعد از چند مرحله به صفر نزدیک می شود. (البته در این مقاله اختلاف ها بر حسب متر اندازه گیری شده است).
- (۷) سعی بر آن است که در روش پیشنهادی تمرکز تواماً روی کاهش پیچیدگی، کاهش هزینه، افزایش اعطاف، تضمین امنیت، افزایش دقت و تعیین پارامترهای کنترلی متناسب با دوره درمان و شرایط بیمار باشد. حال آنکه در کارهای مشابه در نظر گرفتن همه این موارد بصورت یکجا کمتر اتفاق افتاده است.
- (۸) باید تأکید داشت برنامه توانبخشی اینگونه نیست که تا زمانی ادامه یابد که بیمار دردی احساس نکند یا درد کمی داشته باشد، بلکه باید تا زمان اطمینان از بهبودی ادامه پیدا کند.

## مراجع

- [1] Erhan Akdoğan. Ertuğrul Taçgın. M.Arif Adlı,"Knee rehabilitation using an intelligent robotic system" Intell Manuf (2009) 20:195–202 DOI 10.1007/s10845-008-0225.
- [2] Neptune RR, Kautz SA, Zajac FE. "Contributions of the individual ankle plantar flexors to support forward progression and swing initiation during walking". Journal of Biomechanics 2001; 34(11):1387–98.
- [3] L.R. Palmer, "Sagittal plane characterization of normal human ankle function across a range of walking gait speeds", Master's thesis, Department of Mechanical Engineering, MIT, 2002.
- [4] Jiménez-Fabián,O. Verlinden "Review of control algorithms for robotic ankle systems in lower-limb orthoses, prostheses, and exoskeletons".service de Mécanique Rationnelle, Dynamique et Vibrations, Faculté Polytechnique, Université de Mons, Belgium. doi:10.1016/j.medengphy.2011.
- [5] Y.H. Tsui, S.Q. Xie, Impedance Control of Ankle Rehabilitation Robot, 2008 IEEE International Conference on Robotics and Biomimetics, ROBIO 2008, 2008,pp. 840–845.
- [6] C.Innocenti,V.Parenti-Castelli,"Forward kinematics of the general 6-6 fully parallel mechanism: an exhaustive numerical approach via a mono-dimensional search algorithm", Journal of Mechanical Design, Transactions of the ASME 115 (1993) 932–937.
- [7] H. Schmidt, C. Werner, R. Bernhardt, S. Hesse and J. Krüger, "Gait Rehabilitation Machines based on Programmable Footplates",Journal of NeuroEngineering and Rehabilitation, Vol. 4, No. 2,2007.

مطابق با شکل‌های (۱۲) و (۱۳) انحراف یا خطأ از مسیر مطلوب در مراحل اولیه زیاد است و برای توانبخشی بدون کمک کننده، مناسب نیست اما رفته رفته که مراحل درمان می‌گذرد، کوچکتر و به صفر همگرا می‌شود.

## ۹- نتیجه گیری و جمع‌بندی

در این مقاله، یک روبات موازی استوارت ۶ درجه آزادی معرفی و برای توانبخشی اندام‌های پایین با ترکیب کنترل اپدیانس و تطبیقی تحت کنترل قرار گرفت. چندین فاکتور امنیت و شرایط پایداری تعریف و بدست آمدند. هنگامی که فاکتورهای امنیت ارضاء نشود، روبات متوقف می‌شود. پارامترهای مناسب کنترلی با استفاده از شبکه عصبی و الگوریتم رتینیک بدست آمدند. نتایج پیاده‌سازی الگوریتم می‌تواند به صورت زیر جمع‌بندی شود:

(۱) هدف از این مقاله، انجام عمل توانبخشی برای بیمار و پیروی کردن از رفتار عمل فیزیوتراپیست در غیاب وی می‌باشد که به این عمل روبوتراپی گفته می‌شود[۱۲].

(۲) ایجاد مسیر مرجع کاملاً متناسب با شرایط بیمار و دوره‌ی توانبخشی است. در این تحقیق مسیر مرجع (مسیر مطلوب) پس از چندین مرحله مراجعاً به مراکز توانبخشی و مشاهده اعمال مربوطه تعریف شده است.

(۳) شناساگر شبکه عصبی برای حل مسئله سینماتیک معکوس روبات به دو دلیل مورد استفاده قرار گرفت: اولاً با یک شناسایی غیر خطی سرو کار داریم و ثانیاً و مهمتر اینکه مفاصل سیستم کنترلی شخص بیمار احتمالاً توسط شبکه عصبی مصنوعی امکان جایگزین شدن دارند.

(۴) یکی از فاکتورهای مهم و قابل توجه در این تحقیق، تضمین امنیت شخص بیمار است. از آتجایی که پارامترهای کنترل کننده تحت شرایط پایداری و توانایی شخص و نیز دوره‌های مختلف درمان تعیین و بهینه می‌شوند، امنیت تضمین می‌شود. از طرفی تابع شایستگی در الگوریتم رتینیک بر اساس نیروهای تعاملی بین شخص و روبات تعریف می‌شود.

(۵) به منظور کاهش پیچیدگی مسئله بهینه‌سازی پارامترهای کنترلی، الگوریتم رتینیک مورد استفاده قرار گرفت. وجه تمایز الگوریتم رتینیک پیشنهادی در مقایسه با سایر الگوریتم‌ها تعریف کرموزوم‌ها به صورت ماتریسی می‌باشد.

(۶) با توجه شکل‌های (۱۰) و (۱۱) و (۱۳) و مقایسه با نتایج مقالات [۱] و [۱۳]، روش پیشنهادی دارای دقت بیشتر با صرف انرژی و نیروی کمتری است. در مرجع [۱] نیروی مورد نیاز برای حرکت در مسیر مطلوب بر حسب نیوتون در فاصله (+۲۵ و -۴۰) و اختلاف موقعیت بر حسب زاویه در فاصله (+۷۵ و -۷۵) می-

- [8] V.Huang and J.Krakauer,"Robotic Neurorehabilitation: a Computational Motor Learning Perspective", Journal of Neuro Engineering and Rehabilitation, Vol.6,No. 5, 2009.
- [9] Haifa Mehdi • Olfa Boubaker,"Stiffness and Impedance Control Using Lyapunov Theory for Robot-Aided Rehabilitation",Int J Soc Robot DOI 10.1007/s12369-011-0128-5.
- [10] Hogan N (1984) Impedance control of industrial robots Robot Comput-Integr Manuf 1:97–113. doi:10.1016/0736-5845(84)90084-X.
- [11] Hogan N (1985) Impedance control: an approach to manipulators: Part 1, 2, 3. J Dyn Syst Meas Control 107:1–24. doi:10.1115/1.3140702.
- [12] Yoshikawa T. Foundations of robotics: analysis and control. Cambridge: MIT Press; 1990.
- [13] Erhan Akdog, Mehmet Arif Adli "The design and control of a therapeutic exercise robot for lower limb rehabilitation:Physiotherabot", journal homepage: www.elsevier.com/locate/mechatronics, Mechatronics 21 (2011) 509–522.

[14] تجزیه، تحلیل و کنترل روبات/آسادا و اسلوتاین، ترجمه محmm حبیب نژاد کورایم. "تهران: دانشگاه علم و صنعت ایران، مرکز انتشارات، ۱۳۷۶

[15] مهندسی کنترل، کاتسو هیگو اوگاتا، ترجمه قدرت سپیدنام، مشهد، باغانی، ۱۳۸۲